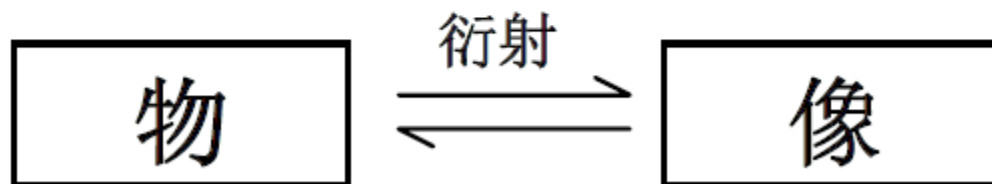
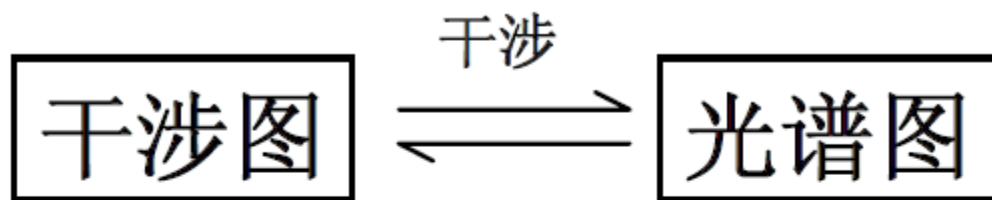


5-03 空间滤波和信息处理

用变换的观点看成像和光谱



夫琅和费衍射场的标准形式

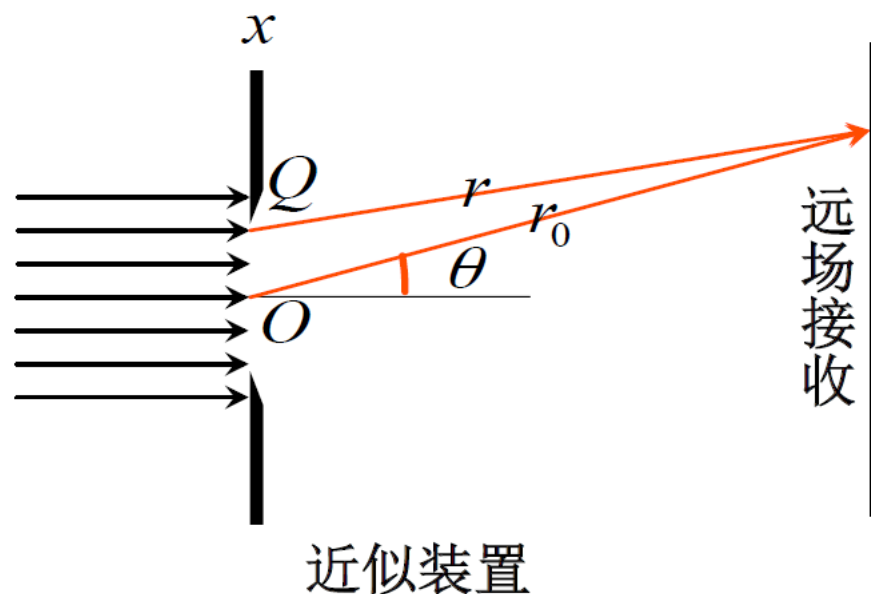
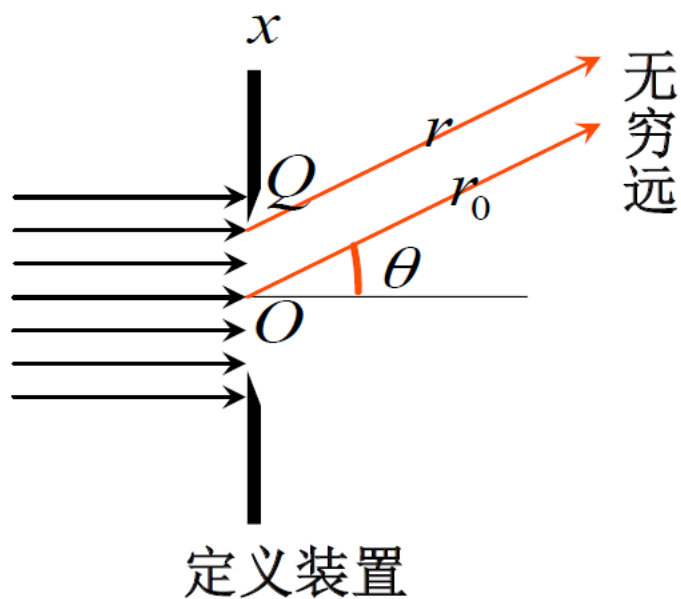
- 1 接受夫琅和费衍射场的装置
- 2 夫琅和费衍射积分的标准形式

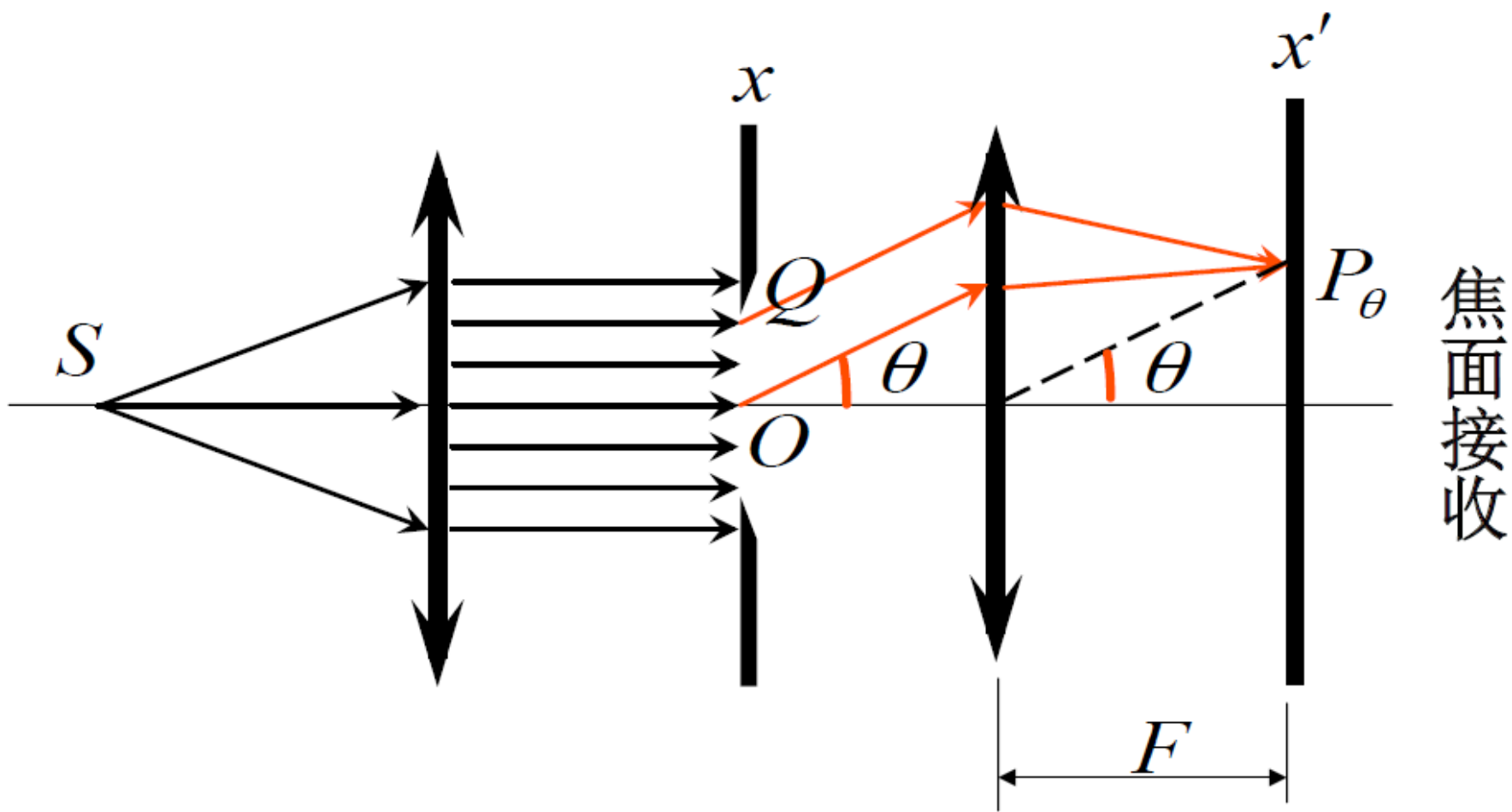
1. 接受夫琅和费衍射场的装置

远场接受
焦面接受
像面接受

定义装置
近似装置
焦面装置
等价装置

激光、演示

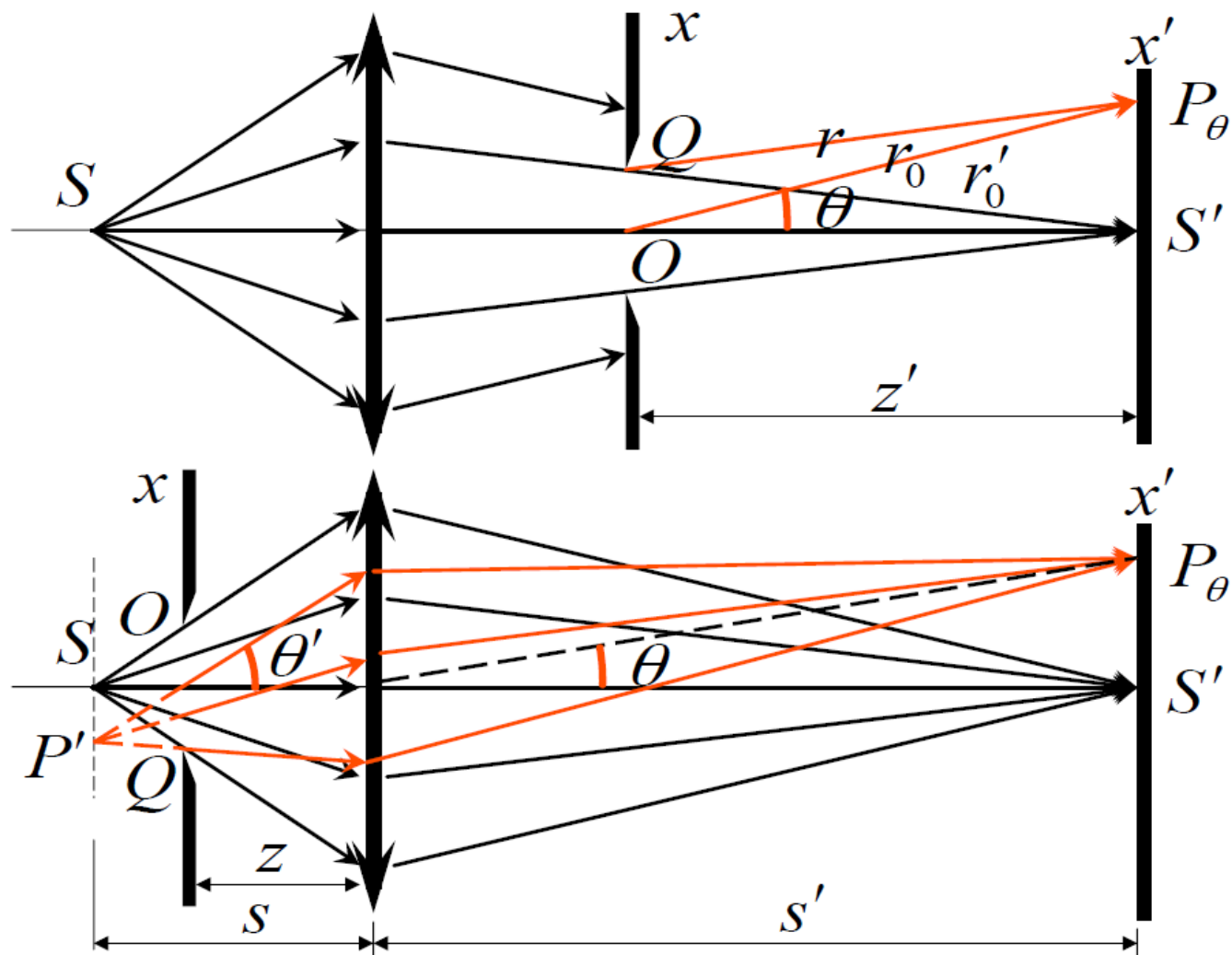




焦面接收

焦面装置

等价装置



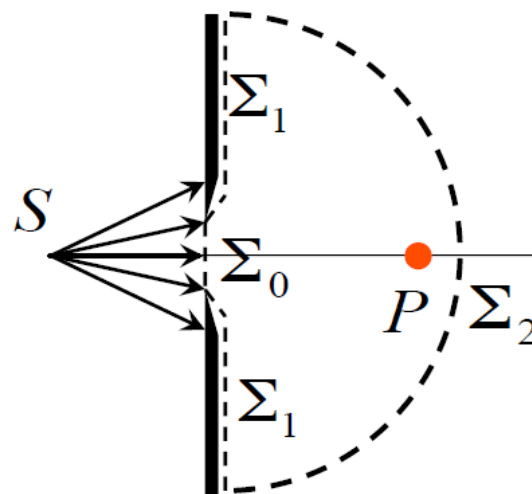
像面接收 (一)

像面接收 (二)

2. 夫琅和费衍射积分的标准形式

基尔霍夫边界条件:

- i) Σ_0 全透
- ii) Σ_1 全遮蔽
- iii) Σ_2 积分为0



$$\tilde{U}(x', y') = -\frac{i}{2\lambda} \iint_{\Sigma_0} (\cos \theta_0 + \cos \theta) \tilde{U}_2(x, y) \frac{e^{ikr}}{r} d\Sigma$$

$$\text{其中: } \tilde{U}_2(x, y) = \tilde{U}_1(x, y) \tilde{t}(x, y)$$

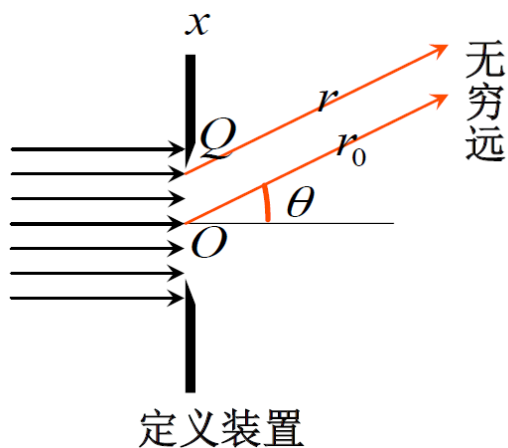
傍轴条件: $\cos \theta_0 \cong 1, \quad \cos \theta_0 \cong 1, \quad \frac{1}{r} \cong \text{const.}$

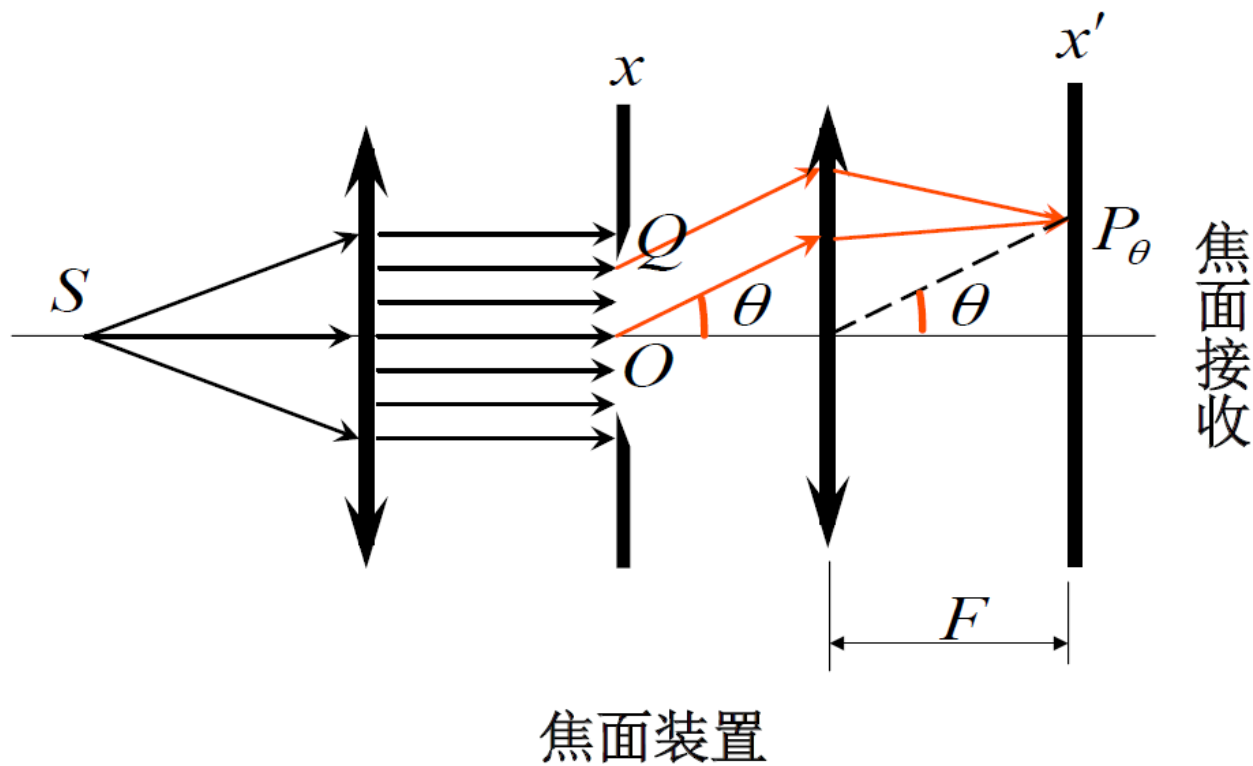
$$\tilde{U}(x', y') \approx C \iint \tilde{U}_2(x, y) e^{ikr} dx dy$$

● 对定义装置: $\tilde{U}_1(x, y) = A_1$

$$\tilde{U}(\theta_1, \theta_2) \approx CA_1 e^{ikr_0} \iint \tilde{t}(x, y) e^{-i(k \sin \theta_1 x + k \sin \theta_2 y)} dx dy$$

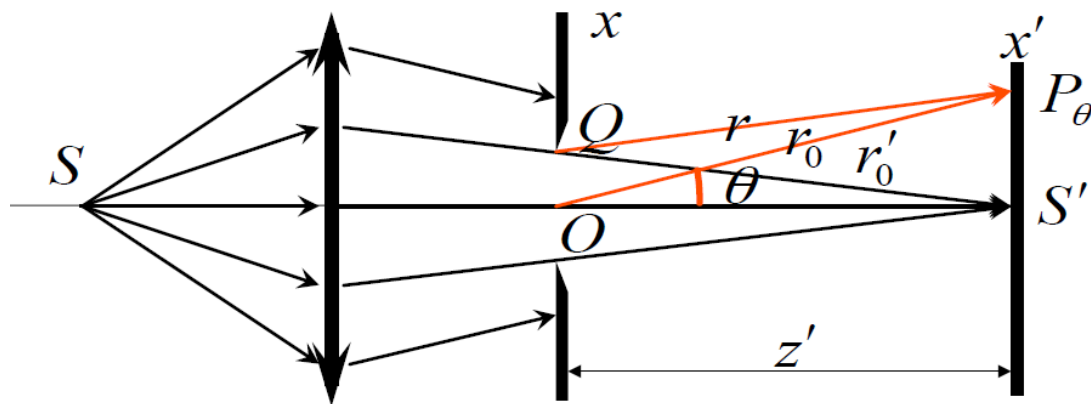
Fraunhofer衍射积分的标准形式





● 对焦面装置：

$$\tilde{U}(x', y') \approx CA_1 e^{ikL_0} \iint \tilde{t}(x, y) e^{-ik \frac{xx' + yy'}{F}} dx dy$$

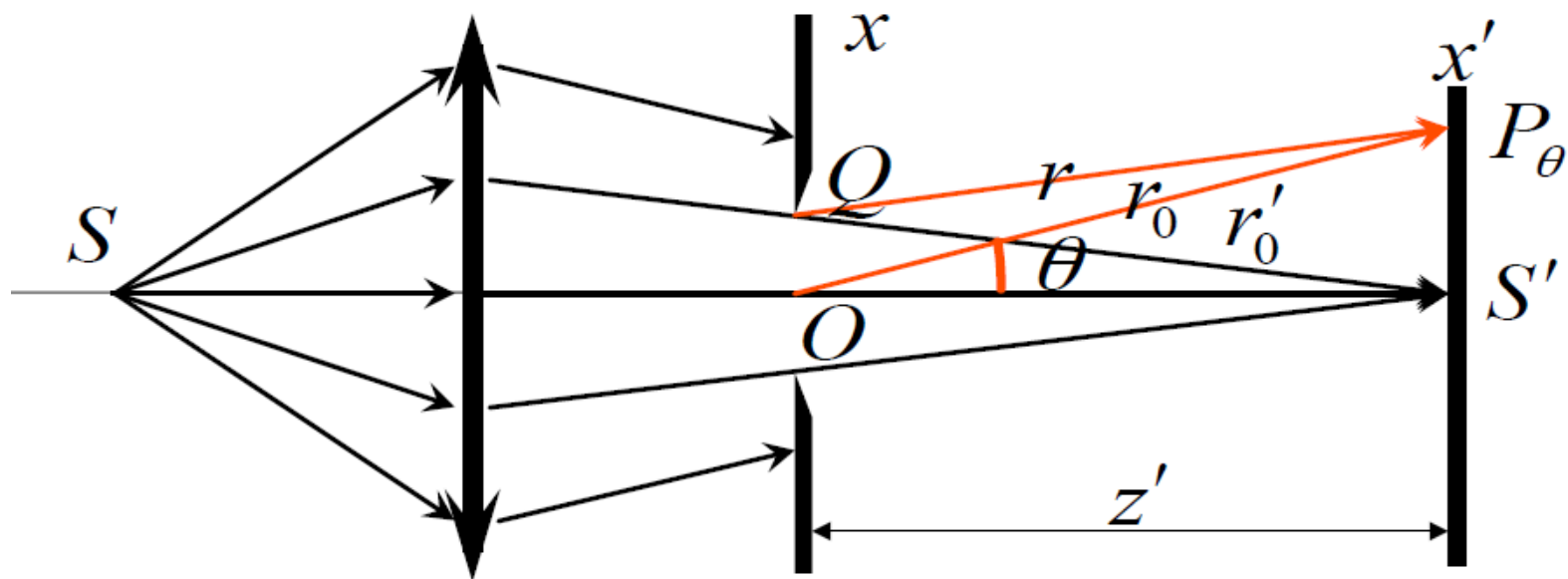


●对等价装置:

球面波照明: $\tilde{U}_1(x, y) = A_1 e^{i\varphi(x, y)}$ Q 到 P_θ 的光程

$$\begin{aligned} \tilde{U}(x', y') &\approx C \iint \tilde{U}_1(x, y) \tilde{t}(x, y) e^{ik \left(r'_0 + \frac{x'^2 + y'^2}{2z'} - \frac{xx' + yy'}{z'} \right)} dx dy \\ &= CA_1 e^{ik \frac{x'^2 + y'^2}{2z'}} \iint \tilde{t}(x, y) e^{i\varphi(x, y) + ikr'_0 - ik \frac{xx' + yy'}{z'}} dx dy \end{aligned}$$

其中: $\varphi(x, y) = k(SQ), \quad r'_0 = (QS')$



利用物象等光程性：

$$\varphi(x, y) + kr'_0 = k[(SQ) + (QS')] = k(SQS') = kL_0$$

$$\tilde{U}(x', y') \approx CA_1 e^{ikL_0} e^{ik\frac{x'^2+y'^2}{2z'}} \iint \tilde{t}(x, y) e^{-ik\frac{xx'+yy'}{z'}} dx dy$$



符合标准形式

结论：在照明光源像平面上接收到的就是屏函数的
Fraunhofer衍射场，与屏插在什么位置无关
Fraunhofer衍射就是屏函数的Fourier变换

空间滤波和信息处理

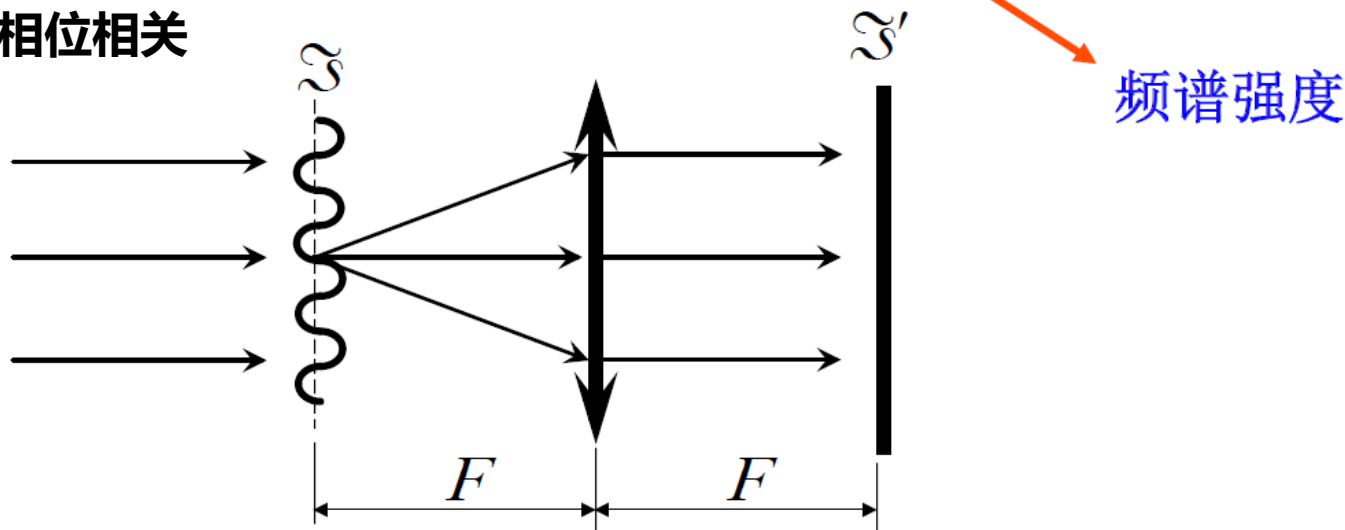
- 1 用夫琅和费衍射实现屏函数的傅里叶变换
- 2 相干光学图像处理系统（4F系统）
- 3 空间滤波实验

1. 用夫琅和费衍射实现屏函数的傅里叶变换

一次衍射：相位无关

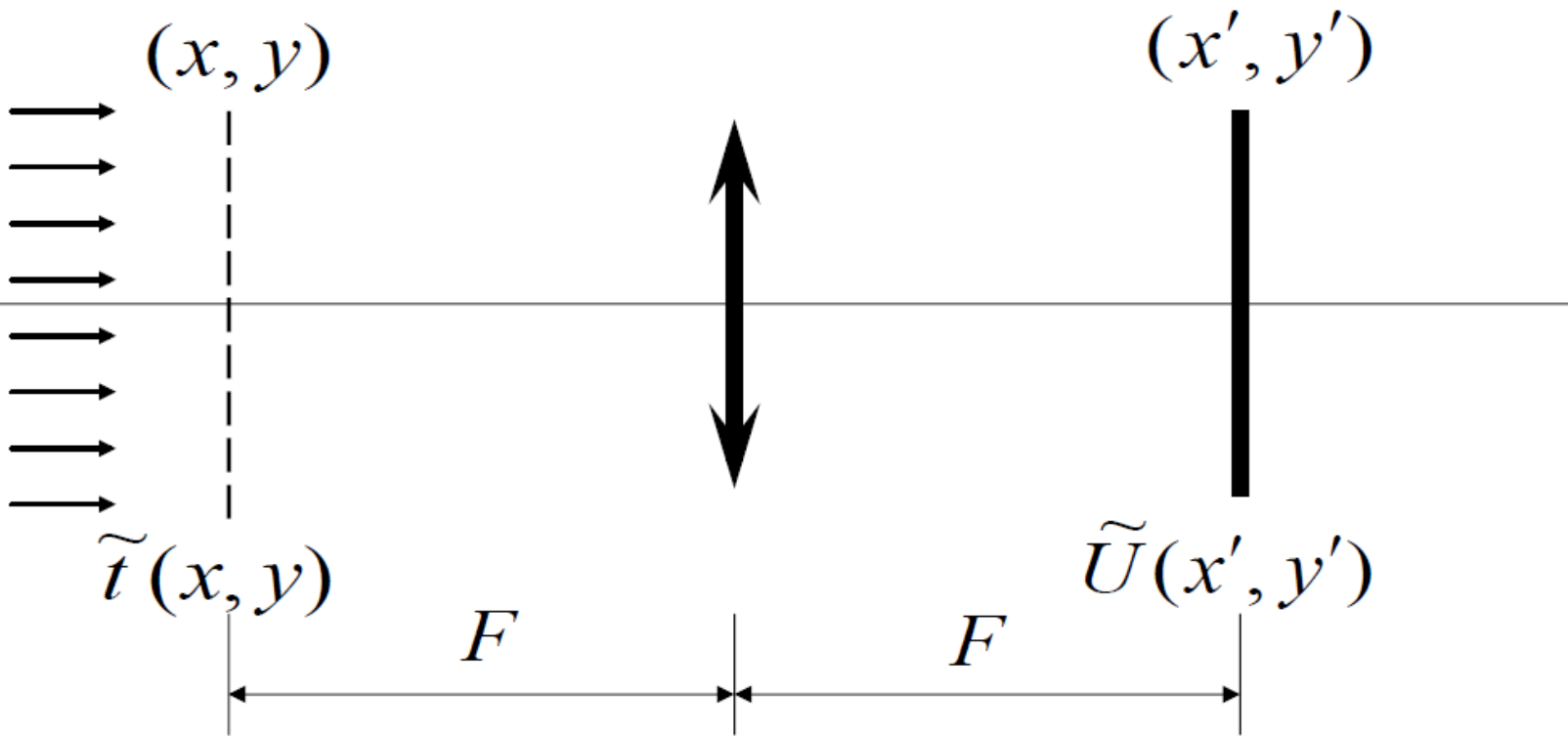
$$\begin{aligned}\tilde{U}(x', y') &= CA_1 e^{i\phi(x', y')} \mathfrak{S}\{\tilde{t}(x, y)\} \rightarrow \text{频谱} \\ I(x', y') &= C^2 A_1^2 \mathfrak{S}\{\tilde{t}(x, y)\} \mathfrak{S}^*\{\tilde{t}(x, y)\} \rightarrow \text{频谱强度}\end{aligned}$$

二次衍射：相位相关



等光程光路： $\phi(x', y') = kL_0(x', y') = \text{const.}$

二次衍射(成像)时，不附加场点位置相移



$$\tilde{U}(x', y') = \mathfrak{F}\{\tilde{t}(x, y)\}$$

$$(f_x, f_y) = \frac{k}{2\pi F}(x', y') = \frac{1}{\lambda F}(x', y')$$

1、 $\delta(x)\delta(y)$

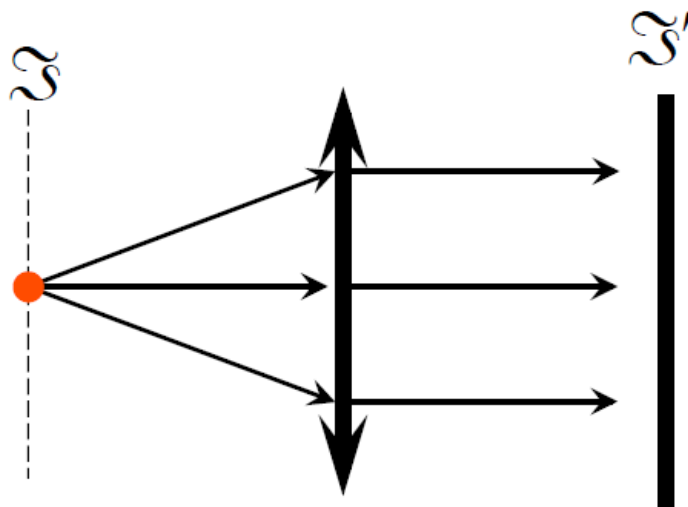
2、 $\delta(x+x_0)\delta(y+y_0)$

3、 $\delta(x+d/2)\delta y+\delta(x-d/2)\delta y$

的频谱和频谱强度

1、 $\tilde{U}(x', y') = \mathfrak{F}\{\delta(x)\delta(y)\} \propto 1$

$I(x', y') \propto 1$



1、 $\delta(x)\delta(y)$

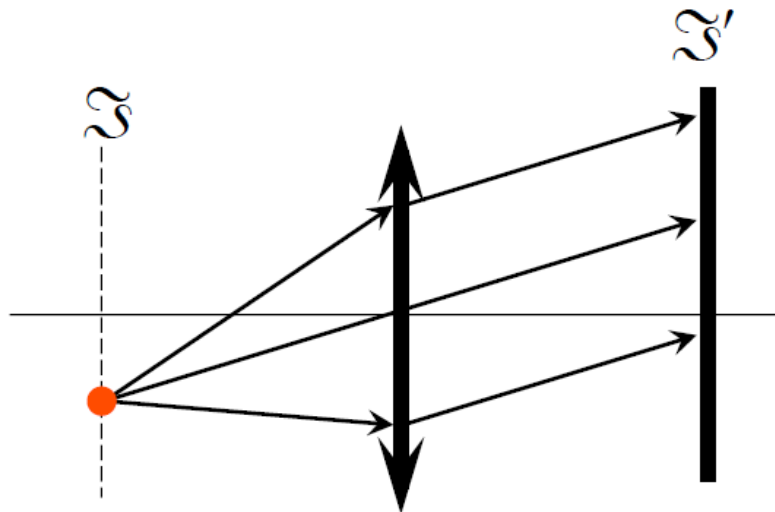
2、 $\delta(x+x_0)\delta(y+y_0)$

3、 $\delta(x+d/2)\delta(y)+\delta(x-d/2)\delta(y)$

的频谱和频谱强度

$$2、 \tilde{U}(x', y') = \mathfrak{F}\{\delta(x+x_0)\delta(y+y_0)\}$$
$$\propto e^{i2\pi(f_x x_0 + f_y y_0)}$$

$$I(x', y') \propto 1$$



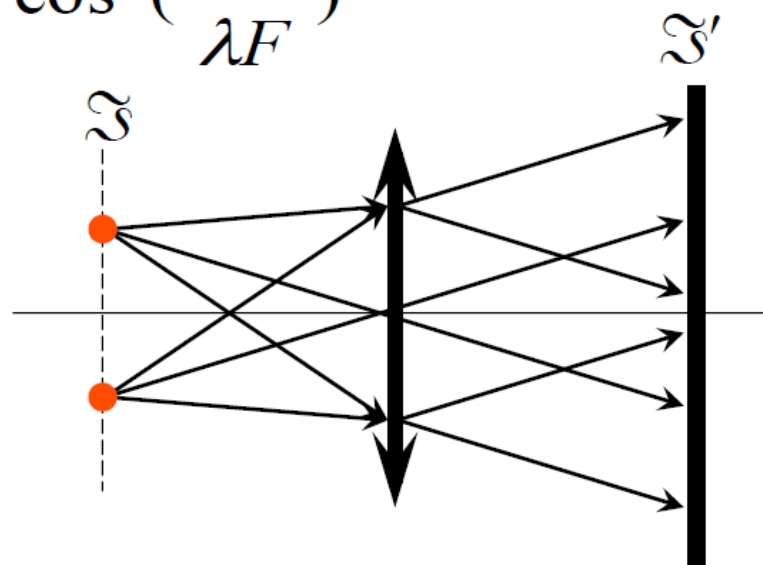
- 1、 $\delta(x)\delta(y)$
- 2、 $\delta(x+x_0)\delta(y+y_0)$
- 3、 $\delta(x+d/2)\delta(y)+\delta(x-d/2)\delta(y)$

的频谱和频谱强度

$$3、\tilde{U}(x', y') = \mathfrak{F}\left\{\delta\left(x + \frac{d}{2}\right)\delta y + \delta\left(x - \frac{d}{2}\right)\delta y\right\}$$

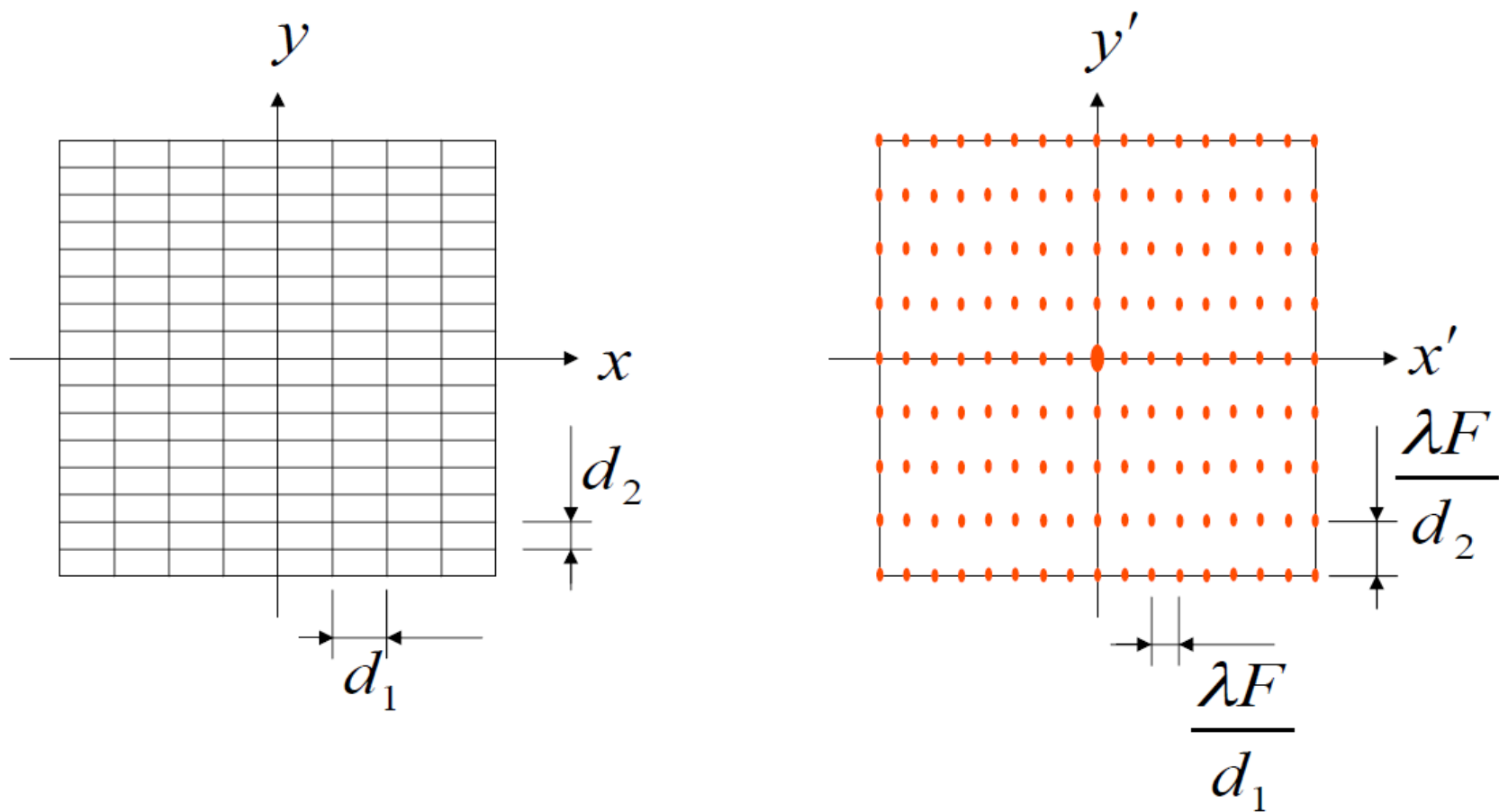
$$\propto e^{i\pi f_x d} + e^{-i\pi f_x d} = \cos(\pi f_x d) = \cos\left(\frac{\pi dx'}{\lambda F}\right)$$

$$I(x', y') \propto \cos^2\left(\frac{\pi dx'}{\lambda F}\right)$$



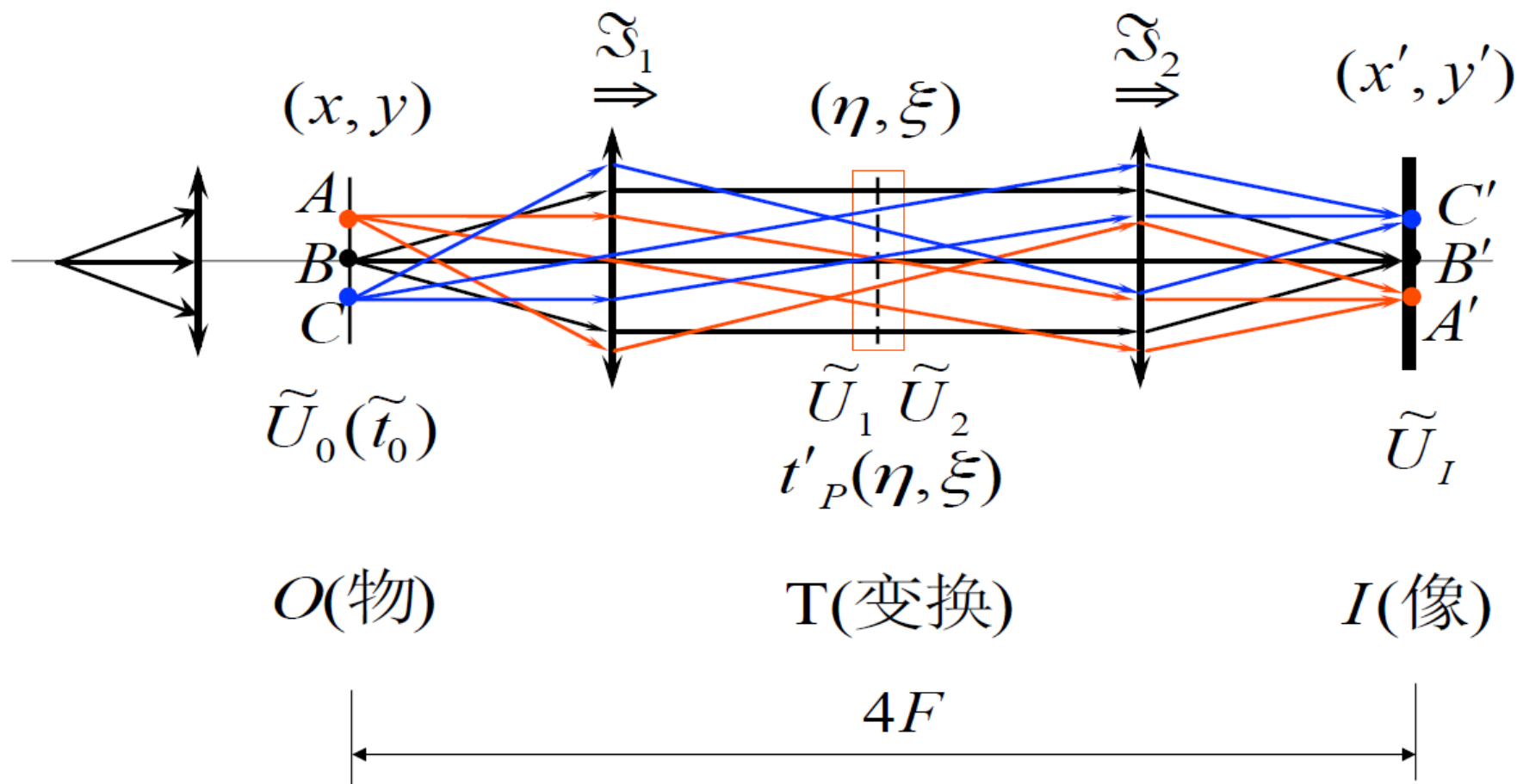
正弦光栅

正交网格的频谱

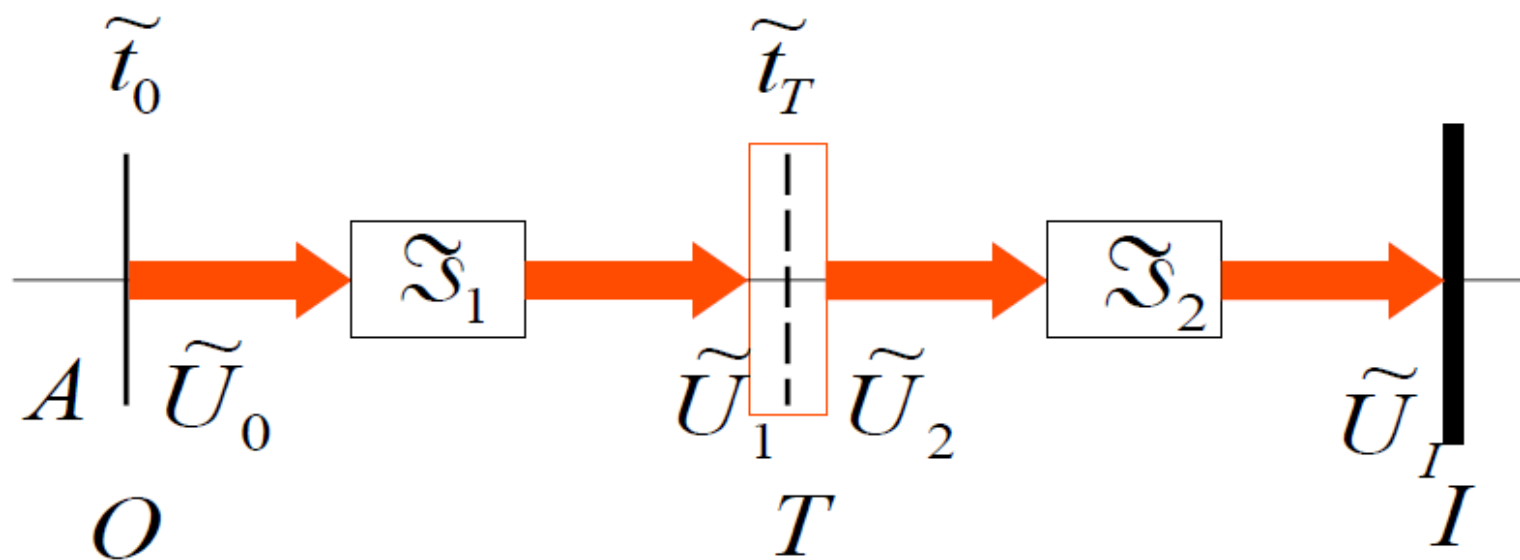


2. 相干光学图像处理系统（4F系统）

4F系统

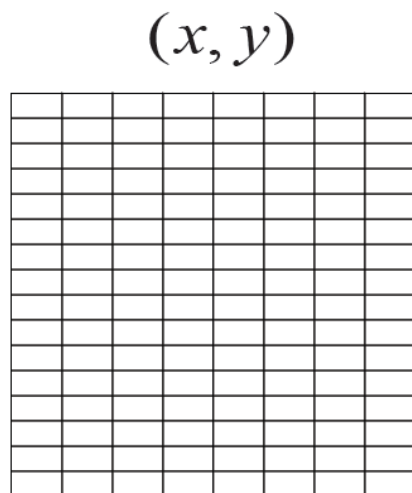


4F系统

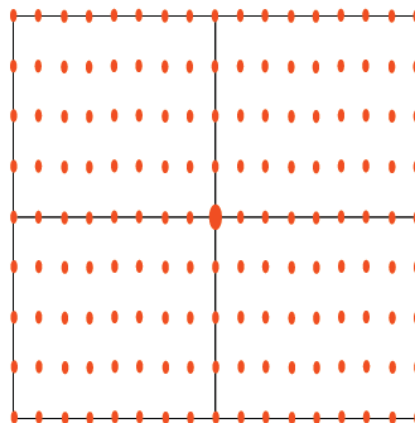


3. 空间滤波实验

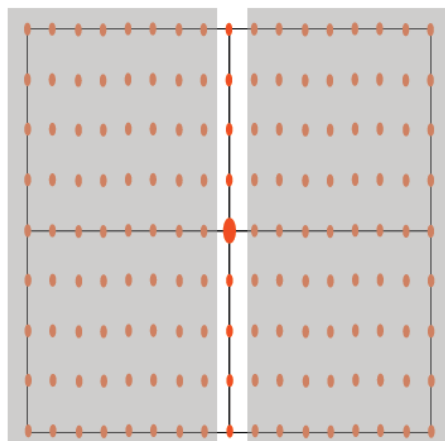
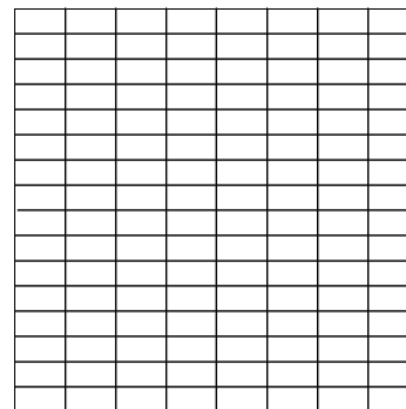
正交网格



(η, ξ)

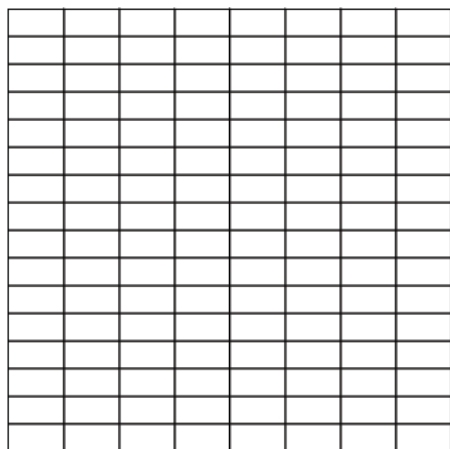


(x', y')

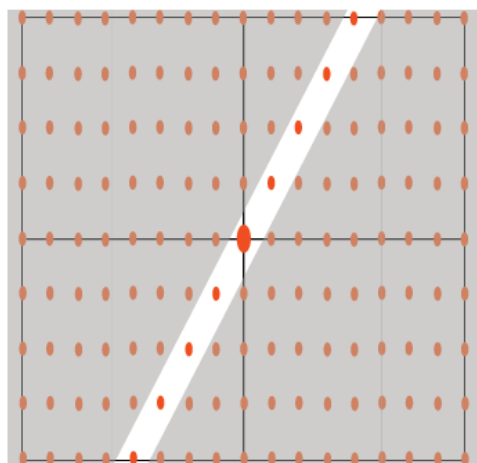
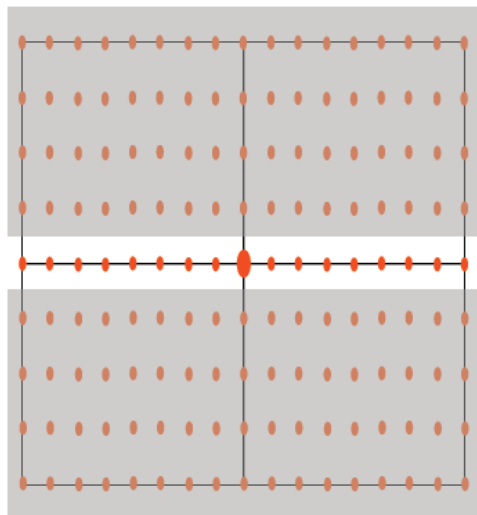


正交网格

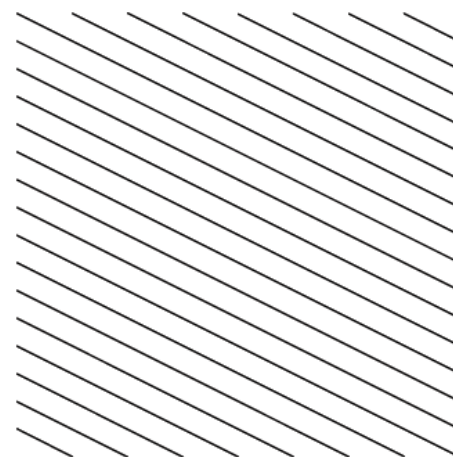
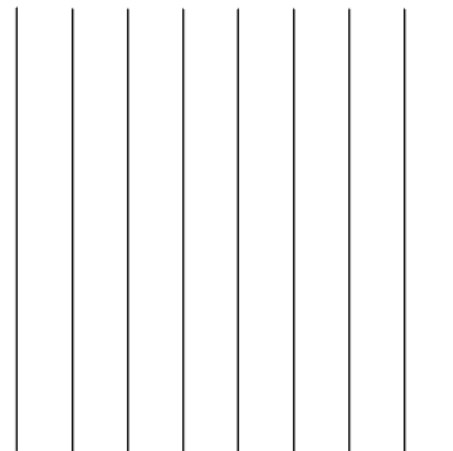
(x, y)



(η, ξ)

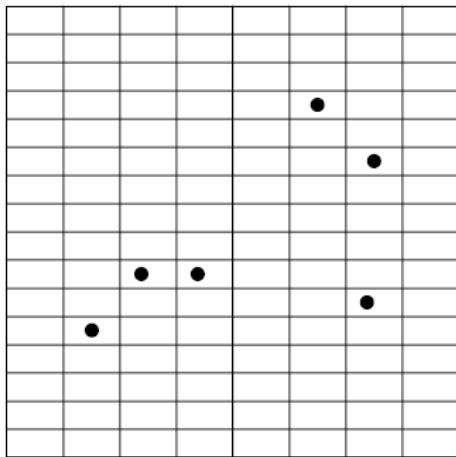


(x', y')

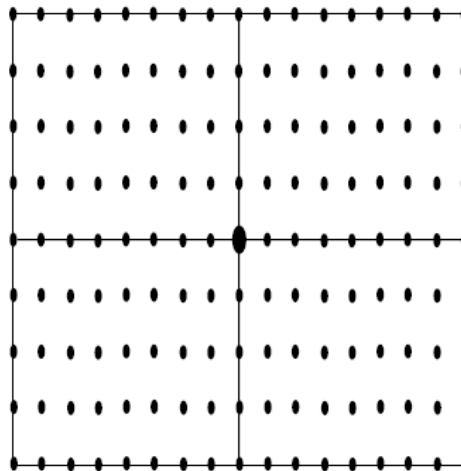


正交网格

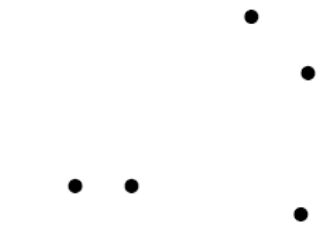
(x, y)



(η, ξ)

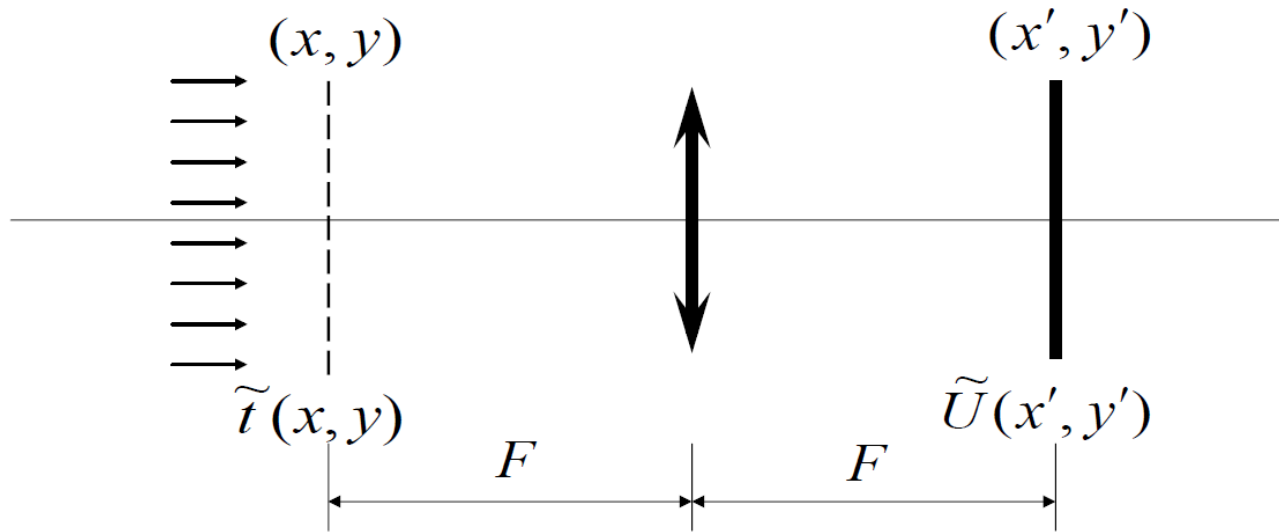


(x', y')



作业 : P127 , 1, 2

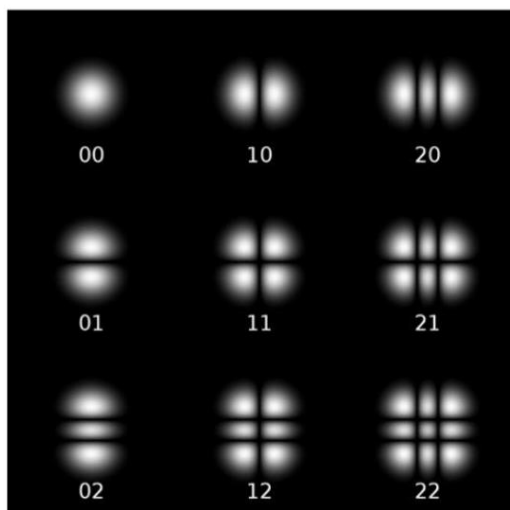
光学变换



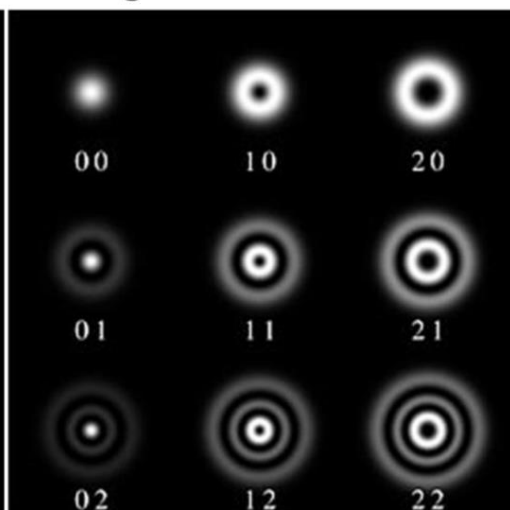
$$\tilde{U}(x', y') = \mathfrak{F}\{\tilde{t}(x, y)\}$$

$$(f_x, f_y) = \frac{k}{2\pi F}(x', y') = \frac{1}{\lambda F}(x', y')$$

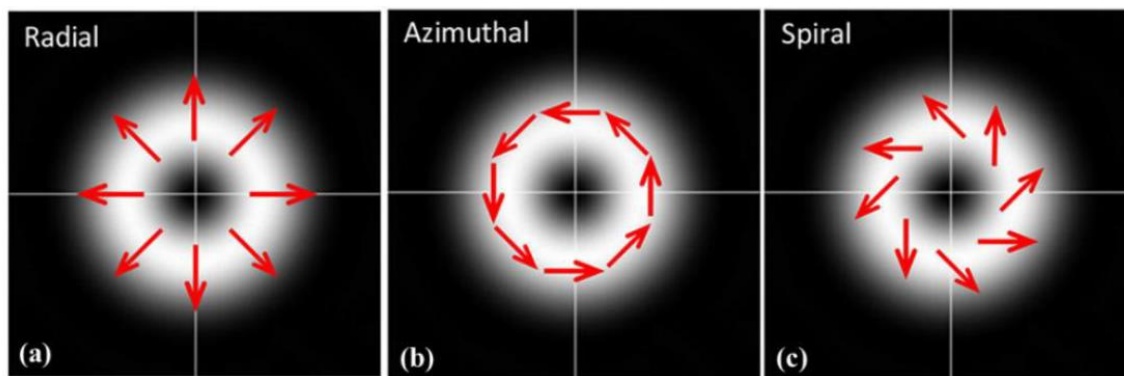
Hermite-Gauss modes



Laguerre-Gauss modes

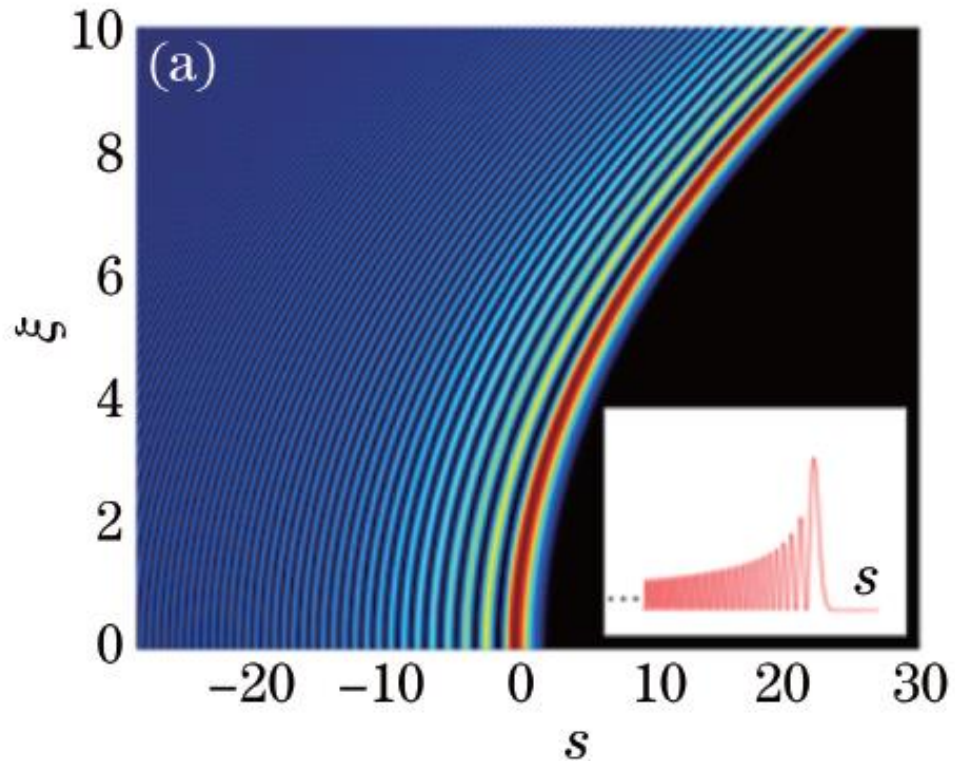


Cylindrical vector beam

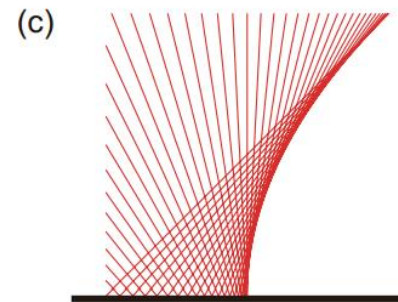
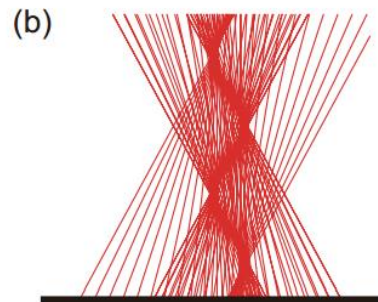
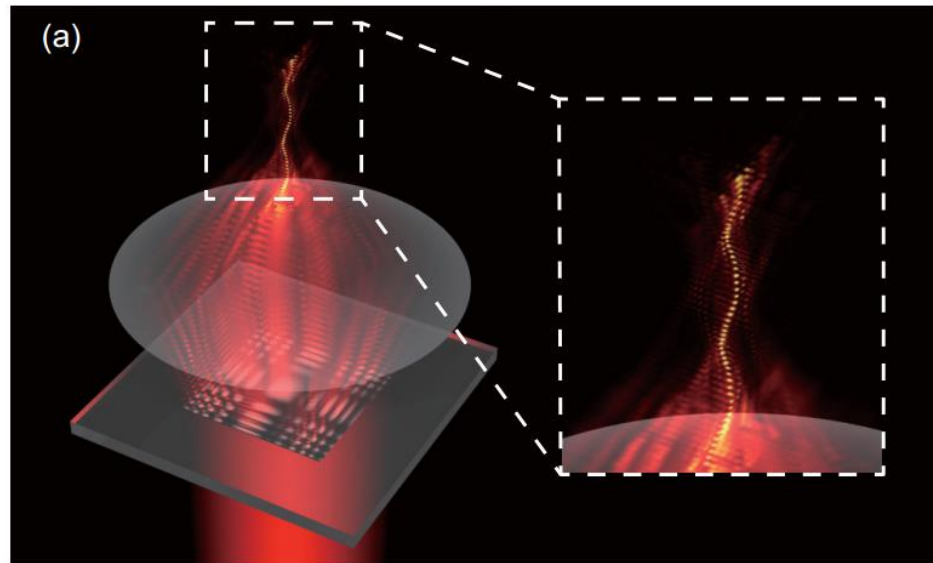


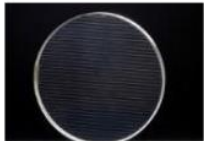
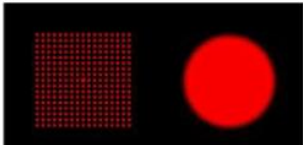
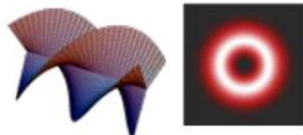
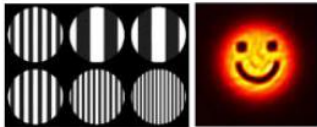
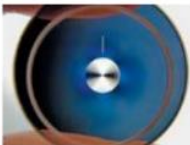
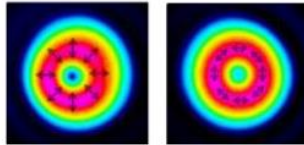
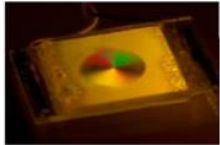
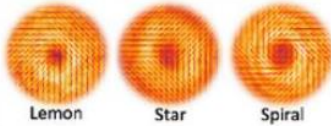
摘自于 龚雷，中国科学技术大学博士学位论文（2016）。

Airy beam



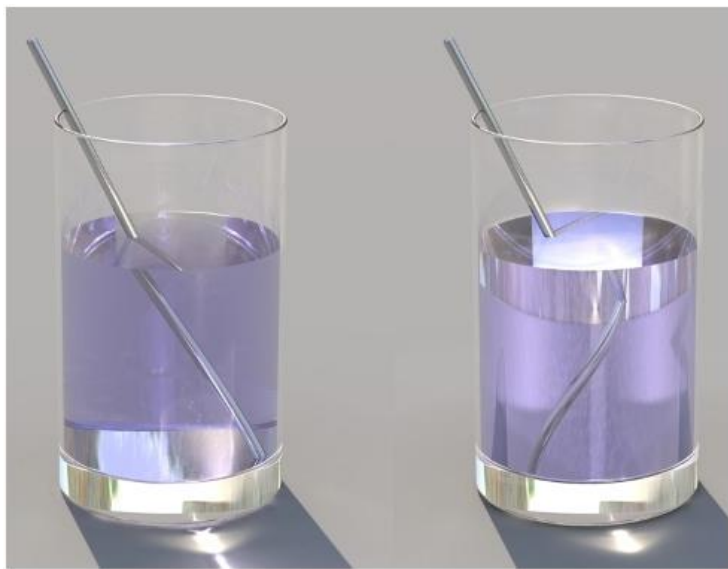
Winding light beams along elliptical helical trajectories



类型	实物	功能	案例	说明
衍射光学元件 (DOE)		强度调控		二元光学器件，用于激光束整形，如均匀化、准直、聚焦、形成图案
液晶空间光调制器(LCSLM)		相位调控		可编程和动态的相位调控，在Fourier平面生成特定强度分布的光场
数字微镜器件 (DMD)		振幅调控		二值化器件，直接进行光强调控，产生任意分布的图案
S-waveplate		偏振调控		调节入射光的偏振态可改变出射的偏振分布，也能产生光学涡旋
Q-plate		偏振调控		可编程的偏振调制器，能产生各种空间分布的偏振光场。

摘自于 龚雷，中国科学技术大学博士论文（2016）。

傅里叶变换：调节 n （实部对应相位变化，虚部对应振幅增减）
如果能调节 ϵ 和 μ ，????
→ meta-material, ...





Illusion Optics: The Optical Transformation of an Object into Another Object

Yun Lai, Jack Ng, HuanYang Chen, DeZhuan Han, JunJun Xiao, Zhao-Qing Zhang,* and C. T. Chan†

眼见为实？

